

# Projeto de Controlador PID para Sistemas de Segunda Ordem com Atraso via Resposta em Frequência

Jhonat Heberson Avelino de Souza <sup>1</sup>

Prof. Dr. Carlos Eduardo Trabuco Dórea <sup>2</sup>

Prof. Dr. José Mário Araújo <sup>3</sup>

<sup>1</sup>[jhonatheberson@gmail.com](mailto:jhonatheberson@gmail.com)

<sup>2</sup>[cetdorea@dca.ufrn.br](mailto:cetdorea@dca.ufrn.br)

<sup>3</sup>[prof.jomario@gmail.com](mailto:prof.jomario@gmail.com)

Departamento de Engenharia de Computação e Automação – DCA  
Universidade Federal do Rio Grande do Norte – UFRN

# Sumário

- 1 Introdução
- 2 Fundamentação Teórica
- 3 Definição do Problema
- 4 Metodologia
- 5 Conclusões
- 6 Referencias



# Introdução - Objetivos

- Estudo de sistemas de segunda ordem com atraso.
- Propor uma solução para um problema de controle para um sistema de segunda ordem com atraso
- Controlador Proporcional e Integrativo Derivativo.
- Definir o problema de controle nos termos da resposta em frequência usando Receptância
- Critério de estabilidade de Nyquist para definir a função as regras de otimização.
- Aprimorar algoritmo heurístico de otimização (GA) para encontrar os ganhos do controlador PID que atenda os critérios estabelecidos.

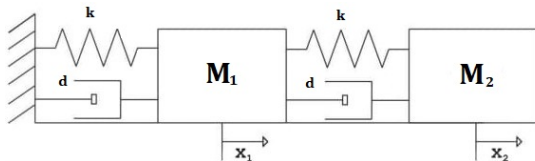


Figura 2: Sistema massa e mola

## Equação do sistema

$$m_1 \ddot{x}_1(t) + d(2\dot{x}_1(t) - \dot{x}_2(t)) + k(2x_1(t) - x_2(t)) = 0 \quad (1)$$

$$m_2 \ddot{x}_2(t) + d(\dot{x}_2(t) - \dot{x}_1(t)) + k(x_2(t) - x_1(t)) = u \quad (2)$$

$$\begin{bmatrix} m_1 & 0 \\ 0 & m_2 \end{bmatrix} \begin{bmatrix} \ddot{x}_1 \\ \ddot{x}_2 \end{bmatrix} + \begin{bmatrix} 2d & -d \\ -d & d \end{bmatrix} \begin{bmatrix} \dot{x}_1 \\ \dot{x}_2 \end{bmatrix} + \begin{bmatrix} 2k & -k \\ -k & k \end{bmatrix} \begin{bmatrix} x_1 \\ x_2 \end{bmatrix} = \begin{bmatrix} 0 \\ 1 \end{bmatrix} u \quad (3)$$

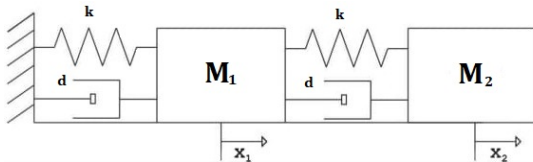


Figura 3: Sistema massa e mola

$$\mathbf{M}\ddot{\mathbf{x}} + \mathbf{D}\dot{\mathbf{x}} + \mathbf{K}\mathbf{x} = \mathbf{B}\mathbf{u} \quad (4)$$

Onde  $\mathbf{M} \in \mathbb{R}^{n \times n}$ , é uma matriz de massas,  $\mathbf{D} \in \mathbb{R}^{n \times n}$  é uma matriz de amortecimento,  $\mathbf{K} \in \mathbb{R}^{n \times n}$  é uma matriz de rigidez,  $\mathbf{B} \in \mathbb{R}^{n \times m}$  é uma matriz de controle,  $\mathbf{x} \in \mathbb{R}^n$  é o vetor de deslocamento e  $\mathbf{u} \in \mathbb{R}^m$  é um vetor de entradas. SISOSingle Input Single Output

# Fundamentação Teórica - Sistema de primeira ordem

$$\mathbf{x} = \tilde{\mathbf{x}}_1$$

$$\dot{\mathbf{x}} = \tilde{\mathbf{x}}_2$$

$$\dot{\tilde{\mathbf{x}}}_1 = \tilde{\mathbf{x}}_2 \quad (5)$$

$$\dot{\tilde{\mathbf{x}}}_2 = -\mathbf{M}^{-1}\mathbf{K}\tilde{\mathbf{x}}_1 - \mathbf{M}^{-1}\mathbf{D}\tilde{\mathbf{x}}_2 + \mathbf{M}^{-1}\mathbf{B}u \quad (6)$$

$$\dot{\tilde{\mathbf{x}}} = \begin{bmatrix} \dot{\tilde{\mathbf{x}}}_1 \\ \dot{\tilde{\mathbf{x}}}_2 \end{bmatrix} = \begin{bmatrix} \mathbf{0} & \mathbf{I} \\ -\mathbf{M}^{-1}\mathbf{K} & -\mathbf{M}^{-1}\mathbf{D} \end{bmatrix} \begin{bmatrix} \tilde{\mathbf{x}}_1 \\ \tilde{\mathbf{x}}_2 \end{bmatrix} + \begin{bmatrix} \mathbf{0} \\ \mathbf{M}^{-1}\mathbf{B} \end{bmatrix} u. \quad (7)$$

ou de maneira abreviada

$$\dot{\tilde{\mathbf{x}}} = \mathbf{A}\tilde{\mathbf{x}} + \mathbf{B}u$$

com

$$\mathbf{A} = \begin{bmatrix} \mathbf{0} & \mathbf{I} \\ -\mathbf{M}^{-1}\mathbf{K} & -\mathbf{M}^{-1}\mathbf{D} \end{bmatrix} \text{ e } \mathbf{B} = \begin{bmatrix} \mathbf{0} \\ \mathbf{M}^{-1}\mathbf{B} \end{bmatrix} \quad (8)$$

$$\mathbf{M}\ddot{\mathbf{x}}(t) + \mathbf{D}\dot{\mathbf{x}}(t) + \mathbf{K}\mathbf{x}(t) = \mathbf{B}u(t) \quad (9)$$

$$u(t) = k_p e(t) + k_i \int_0^t e(\tau) d\tau + k_d \frac{de(t)}{dt} \quad (10)$$

$$(\mathbf{M}s^2 + \mathbf{D}s + \mathbf{K} - b(k_p + \frac{k_i}{s} + k_d s))\mathbf{z} = \mathbf{0} \quad (11)$$

$$(\mathbf{M}s^2 + \mathbf{D}s + \mathbf{K} - q(s)(s)bd)^{-1}\mathbf{z} = \mathbf{0}$$



$$(\mathbf{A} + \mathbf{u}\mathbf{v}^T)^{-1} = \mathbf{A}^{-1} - \frac{\mathbf{A}^{-1}\mathbf{u}\mathbf{v}^T\mathbf{A}^{-1}}{1 + \mathbf{v}^T\mathbf{A}^{-1}\mathbf{u}} \quad (12)$$

Aplicando a fórmula de *Sherman-Morrison* em (11) com  $\mathbf{A} = (\mathbf{M}s^2 + \mathbf{D}s + \mathbf{K})$ ,  $\mathbf{u} = \mathbf{B}$  e  $\mathbf{v} = (k_p + \frac{k_i}{s} + k_d s)$ , temos:

$$\hat{\mathbf{H}}(s) = \mathbf{H}(s) - \frac{\mathbf{H}(s)\mathbf{b}d(k_p + \frac{k_i}{s} + k_d s)\mathbf{H}(s)}{1 + (k_p + \frac{k_i}{s} + k_d s)\mathbf{H}(s)d\mathbf{b}} \quad (13)$$

onde  $\hat{\mathbf{H}}(s) = (\mathbf{M}s^2 + \mathbf{D}s + \mathbf{K} + \mathbf{b}d(k_p + \frac{k_i}{s} + k_d s))^{-1}$  é definida em (??) como matriz de receptância de malha fechada e

$\mathbf{H}(s) = (\mathbf{M}s^2 + \mathbf{D}s + \mathbf{K})^{-1}$  como matriz de receptância de malha aberta, que, na prática, pode ser medida pela resposta em frequência  $\mathbf{H}(j\omega)$ .

A equação característica de (13) é definida como:

$$1 + (k_p + \frac{k_i}{s} + k_d s)d\mathbf{H}(s)\mathbf{b} = 0 \quad (14)$$

$$(k_p + \frac{k_i}{s} + k_d s) \mathbf{H}(s_k) b = 1$$

$$\mathbf{r}_k (k_p + \frac{k_i}{s} + k_d s) = 1, \quad k = 1, 2, \dots, 2n$$

ou

$$\mathbf{r}_k k_p + \frac{k_i}{r_k} s + k_d r_k s = 1, \quad k = 1, 2, \dots, 2n$$

com  $\mathbf{r}_k = \mathbf{H}(s_k)b$ , onde o sobrescrito  $k$  representa o  $k$  – *ésimo* autovalor.  
E na forma matricial:

$$\begin{bmatrix} \mathbf{r}_1 & \frac{\mathbf{r}_1}{s_1} & s_1 \mathbf{r}_1 \\ \mathbf{r}_2 & \frac{\mathbf{r}_2}{s_2} & s_2 \mathbf{r}_2 \\ \vdots & \vdots & \vdots \\ \mathbf{r}_{2n} & \frac{\mathbf{r}_{2n}}{s_{2n}} & s_{2n} \mathbf{r}_{2n} \end{bmatrix} \begin{bmatrix} k_p \\ k_i \\ k_d \end{bmatrix} = \begin{bmatrix} 1 \\ 1 \\ \vdots \\ 1 \end{bmatrix} \quad (15)$$

$$u(t - \tau) = k_p e(t - \tau) + k_i \int_0^t e(t - \tau) d\tau + k_d \frac{de(t - \tau)}{dt} \quad (16)$$

$$\mathbf{M}\ddot{\mathbf{x}}(t) + \mathbf{D}\dot{\mathbf{x}}(t) + \mathbf{K}\mathbf{x}(t) = \mathbf{B}u(t - \tau) \quad (17)$$

com  $\mathbf{x}(t) = \mathbf{z}e^{st}$

$$(\mathbf{M}s^2 + \mathbf{D}s + \mathbf{K} - bd(k_p + \frac{k_i}{s} + k_d s)e^{-s\tau})\mathbf{z} = \mathbf{0} \quad (18)$$

$$(\mathbf{M}s^2 + \mathbf{D}s + \mathbf{K} + e^{-s\tau}q(s)bd)^{-1}\mathbf{z} = \mathbf{0}$$

$$\hat{\mathbf{H}}(s) = \mathbf{H}(s) - \frac{\mathbf{H}(s)\mathbf{b}d(k_p + \frac{k_i}{s} + k_d s)\mathbf{H}(s)e^{-s\tau}}{1 + \mathbf{b}d(k_p + \frac{k_i}{s} + k_d s)\mathbf{H}(s)e^{-s\tau}} \quad (19)$$

# Fundamentação Teórica - Fórmula de Sherman-Morrison com atraso

$$\hat{\mathbf{H}}(s) = \mathbf{H}(s) - \frac{\mathbf{H}(s)\mathbf{b}d(k_p + \frac{k_i}{s} + k_d s)\mathbf{H}(s)e^{-s\tau}}{1 + \mathbf{b}d(k_p + \frac{k_i}{s} + k_d s)\mathbf{H}(s)e^{-s\tau}} \quad (20)$$

$$1 - (k_p + \frac{k_i}{s} + k_d s)\mathbf{H}(s)\mathbf{b}e^{-s\tau} = 0 \quad (21)$$

$$(k_p + \frac{k_i}{s} + k_d s)\mathbf{H}(s)\mathbf{b} = e^{s\tau}$$

e reescrevendo matricialmente

$$\begin{bmatrix} \mathbf{r}_1 & \frac{\mathbf{r}_1}{s_1} & s_1 \mathbf{r}_1 \\ \mathbf{r}_2 & \frac{\mathbf{r}_2}{s_2} & s_2 \mathbf{r}_2 \\ \vdots & \vdots & \vdots \\ \mathbf{r}_{2n} & \frac{\mathbf{r}_{2n}}{s_{2n}} & s_{2n} \mathbf{r}_{2n} \end{bmatrix} \begin{bmatrix} k_p \\ k_i \\ k_d \end{bmatrix} = \begin{bmatrix} e^{s_1 \tau} \\ e^{s_2 \tau} \\ \vdots \\ e^{s_{2n} \tau} \end{bmatrix} \quad (22)$$

# Resposta em frequência

- A matriz de receptância nos fornece a resposta em frequência  $H(j\omega)$  do sistema
- O ganho de malha da equação característica em malha fechada é descrito na Equação 23.

$$L(s) = \mathbf{bd}(k_p + \frac{k_i}{s} + k_d s) \mathbf{H}(s) e^{-s\tau} \quad (23)$$

# Definição do Problema - Estabilidade

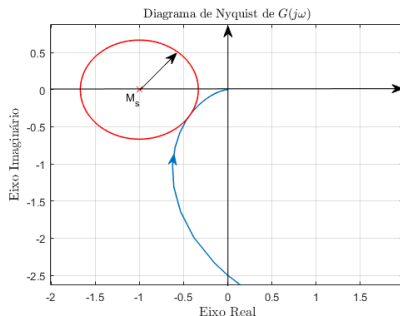
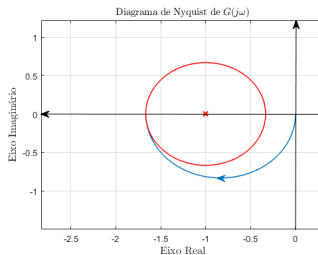


Figura 4: Diagrama de Nyquist Exemplo de Circunferência.  $M_s$

## Restrições de estabilidade

- Podemos afirmar pela teórica do critério de estabilidade de Nyquist que circunferência  $M_s$  representa quanto robusto é o sistema
- $M_s$  é menor distância entre o ponto  $(-1, 0)$  e a curva de Nyquist

# Definição do Problema - Instabilidade



**Figura 5:** Diagrama de Nyquist de um Sistema Genérico para Exemplo de um Caso de Instabilidade.

## Restrições de instabilidade

- Garantir que a curva de Nyquist não contenha a circunferência a englobando
- Enlaçar o ponto  $(1, 0)$ , se evidencia um caso de instabilidade

# Definição do Problema - Funções de otimização

$$\begin{aligned} \min_{k_p, k_i, k_d} \quad & h(k_p, k_i, k_d) = \left( \min_{\omega_i} |L(j\omega) + 1| - M_s^{-1} \right)^2 \\ \text{s.a.} \quad & L(j\omega_i) = -(k_p + \frac{k_i}{j\omega_i} + k_d j\omega_i) \mathbf{H}(j\omega_i) b e^{-j\omega_i \tau} \\ & \text{Re}\{L(j\omega_i)\} \geq -1 + M_s^{-1} \quad \forall \omega_i / \text{Im}\{L(j\omega_i)\} = 0 \\ \min_{\omega_i} \quad & \text{Re}\{L(j\omega_i)\} = -1 + M_s^{-1} \quad \forall \omega_i / \text{Im}\{L(j\omega_i)\} = 0 \end{aligned} \quad (24)$$



Função	Dimensão	PSO [3]	PSO	GA [3]	GA	GA [5]
Esfera	30	1.0454E+05 ±7.1998E+04	<b>2.241E+03</b> <b>±7.030E+02</b>	6.4415E+03 ±1.6876E+03	<b>6.7564E+01</b> <b>±4.4760E+01</b>	2.0532E+02 ± 4.6377E+01
Rosenbrock	2	7.0289E+08 ±4.8937E+08	<b>7.0261E+08</b> <b>±3.666E+08</b>	1.2493E+07 ±8.6725E+06	<b>9.7689E+00</b> <b>±2.5590E+03</b>	1.2280E+02 ±1.9833E+02
Rastrigin	30	5.4130E+02 ±1.5969E+01	<b>1.7430E+02</b> <b>±2.506E+01</b>	5.5900E+01 ±1.4294E+01	<b>1.7650E+01</b> <b>±3.2255E+00</b>	6.9160E+01 ± 9.5182E+00

Figura 6: Média e desvio-padrão do fitness de 20 execuções do algoritmo, nas condições da ref [3]. Resultados deste trabalho em negrito

## Busca dos ganhos do controlador

- Uso de meta-heurística para encontrar os ganhos
- Algoritmo Genético
- Resolve de forma genérica problemas de otimização
- Geralmente aplicadas a problemas para os quais não se conhece algoritmo eficiente

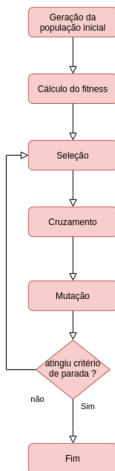
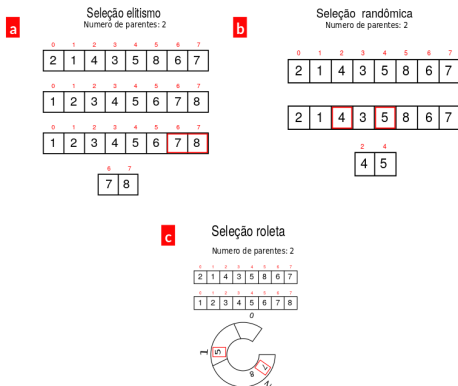


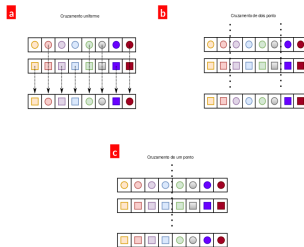
Figura 7: Fluxograma do algoritmo genético

# Metodologia - Métodos de seleção



**Figura 8:** Ilustração dos métodos implementados de seleção. (a) Seleção elitismo, ordenando de forma crescente e escolhendo os indivíduos com maior fitness. (b) Seleção Randômica, que seleciona os pais aleatoriamente entre a população. (c) Seleção roleta, a qual ordena e rearranja para que simula uma roleta.

# Metodologia - Métodos de cruzamento



**Figura 9:** Algoritmos de cruzamento (crossover). (a) Cruzamento uniforme, em que o novo cromossomo (abaixo) é formado selecionando genes aleatórios de cada um dos pais. (b) Cruzamento de dois pontos, em que o novo cromossomo é formado pelas extremidades de um dos pais e a parte central do outro. Os pontos de corte (tracejados) são sorteados aleatoriamente para cada indivíduo. (c) Cruzamento de um ponto, em que o novo indivíduo é gerado com o início do cromossomo de um dos pais e o final do outro. O ponto de corte (linha tracejada) é decidido aleatoriamente para cada indivíduo.

- Estudo da eficiência para essa técnica utilizando controlador PID.
- Avaliação do critério de estabilidade de Nyquist.
- Trabalhos futuros: Aplicar essa técnica para sistemas multivariáveis e sistemas instáveis, verificar eficiência de outro algoritmo heurístico (PSO).

- [1] Ogata, Katsuhiko (2009), Modern control engineering, Prentice Hall Upper Saddle River, NJ.
- [2] DANTAS, N. J. B. (n.d.), Projeto de controladores para sistemas de segunda ordem com atraso via resposta em frequência., Dissertação de mestrado, Universidade Federal do Rio Grande do Norte.
- [3] Mohd Nadhir Ab Wahab, Samia Nefti-Meziani, Adham Atyabi, A Comprehensive Review of Swarm Optimization Algorithms, PLOS ONE, 10, e0122827, 2015.
- [4] Solgi, R. M., geneticalgorithm, v 1.0.1, <https://github.com/rmsolgi/geneticalgorithm> Acessado em 24/08/2020.